

1. まえがき

異形鉄筋の重ね縫手には縫手鉄筋のまわりのコンクリートに鉄筋軸方向の縫ひびわれが発生しやすいという欠点がある。縫ひびわれの発生は、重ね縫手の破壊の直接原因となることが多い、きわめて重要な問題である。この縫ひびわれの発生・成長には異形鉄筋とコンクリートとの裏面近傍に発生している内部ひびわれが密接に関係していると考えられる。そこで、本研究は、これらの縫ひびわれや内部ひびわれの面から異形鉄筋の重ね縫手の応力伝達および破壊の機構を実験的に明らかにし、さらに太径異形鉄筋の重ね縫手の効果的な補強方法について検討したものである。

なお、本研究は終始東北大教授後藤幸正博士の御指導のもとに行なわれたものであり、又本研究に対する昭和49年度吉田研究奨励金を賜った。ここに謹んで感謝の意を表します。

2. 応力伝達および破壊機構

異形鉄筋の重ね縫手の応力伝達機構を明らかにするために⁽¹⁾⁽²⁾⁽³⁾実験によると、重ね縫手鉄筋周辺のコニクリートには写真-1にみられるような内部ひびわれが発生している。これら2本の鉄筋にはさまれた部分の内部ひびわれの傾きは一方の鉄筋から他方の鉄筋に力がコンクリートを通して伝達される方向を示していると考えられる。このような異形鉄筋の重ね縫手の応力伝達状況は、近似的にトラスアメロジーで説明できることされているが、重ね縫手部における内部ひびわれの発生状況をみると、応力伝達のモデルは図-1のようなトラスと考えることができる。すなまち、2本の鉄筋がそれぞれ縦部材A、Bであり、2本の鉄筋の間の内部ひびわれによって分割されたコニクリートが斜圧縮材に相当し、縫手鉄筋をとりかこむりニゲ形状のコニクリートが引張を受ける横部材に相当するトラスである。

この際、斜部材と縦部材との角度は内部ひびわれの角度とするとおか適当と考えられる。かぶりが十分大きくなれば、このようなトラスは、一般に引張材の破壊によって破壊する。従って、かぶりが十分大きいときは重ね合せ長さを適当に長くすれば横方向補強筋なしでも全強度を生じさせることができるが、かぶりが小さいときにはまわりのコンクリートだけではリニケーションを受持てなくなり、横方向補強鉄筋が必要となる。特に、太径異形鉄筋の場合には、縫手ひびわれが発生しやすいので、補強鉄筋量をトラスアメロジーで計算する際、コニクリートの引張力はすべて横方向補強鉄筋が受持つと仮定するのがよいと考えられる。このようにして補強鉄筋量を求めると、式-1のようになる。式中のKは主として内部ひびわれの角度に關する係数であり、 $\theta=45^\circ$ とすれば、 $K=1$ となる。

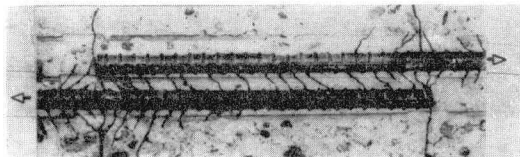


写真-1 重ね縫手部の内部ひびわれ

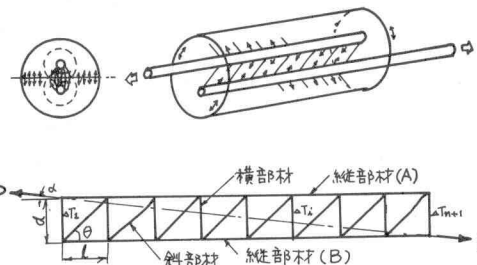


図-1 異形鉄筋の重ね縫手の応力伝達モデル

$$A_{SL} = K \cdot \frac{A_s \cdot \sigma_{sy}}{\sigma_{sey}} \quad \dots \dots \dots (1)$$

ここで

 A_{SL} : 橫方向補強鉄筋量 (cm^2) A_s : 縫手鉄筋(1本)断面積 (cm^2) σ_{sy} : 縫手鉄筋の降伏応力 (kg/cm^2) σ_{sey} : 橫方向補強鉄筋の降伏応力 (kg/cm^2)K : 内部ひびわれの角度に関する係数
($\theta=45^\circ$ のとき $K=1$)

式-1 橫方向補強鉄筋量の計算式

しやすいで、補強鉄筋量をトラスアメロジーで計算する際、コニクリートの引張力は無視し、横方向の引張力はすべて横方向補強鉄筋が受持つと仮定するのかよいと考えられる。このようにして補強鉄筋量を求めると、式-1のようになる。式中のKは主として内部ひびわれの角度に關する係数であり、 $\theta=45^\circ$ とすれば、 $K=1$ となる。

3. 実験方法

実験に用いた供試体は図-2に示すような異形鉄筋の重ね縫手をもつた両引供試体およびはり供試体である。重ね縫手の補強方法としては、スパイラル鉄筋およびストラップを用いる方法によった。その際の補強鉄筋量は式-1において、 $K=1$ として求まる値を安全として種々に変えた。鉄筋はD16, D25, D51とともに川崎製鉄リバーコンSD35を用いた。セメントは小野田早強ポルトランドセメントを用いた。コンクリートの圧縮強度および引張強度は平均32.5 kg/cm²および2.5%であった。

4. 実験結果

実験結果の一、二の例を示すと次のようである。図-3はD16を用いた、かぶりおよび重ね合せ長さを種々に変え補強しない重ね縫手の破壊時の引張面引荷重($P_u = A_{se} f_y$)と、トラスと考えた場合の引張材($\epsilon = 2\% \text{ リット}$)の全引張抵抗力($R_t = 2C \cdot l \cdot \sigma_{ct}$)との関係を示したものである。かぶりの大きさとの相違によるばらつきはあるが、ほぼ直線的な関係があることがわかる。そして、原点を通る傾き1の直線にはほぼ平行で、その直線の上側に位置している。ところが、同様の関係を太径異形鉄筋D51を用いた場合の結果につけめると、図-4のようになる。この図からわかるように、ほぼ直線的な関係ではあるが、傾き1の直線よりも傾きがかなり小さくなっている。このことは、太径異形鉄筋の重ね縫手の場合には、細筋へ場合と比べて、より繰りびわれが発生しやすく、かぶりが直徑の1~2倍程度では、かんらかの縫手部の横方向へ補強が必要となることを示していると考えられる。

図-5は、太径異形鉄筋の重ね縫手の補強の一例として、スパイラル鉄筋の量を変えて、その効果を調べた結果を示したものである。この場合、重ね合せ長さは102 cm(204), かぶり 6.5 cm であるが、 $\epsilon = 2\% \text{ リット}$ の引張力を無視して計算した補強鉄筋量の約80%程度でも実際に十分効果があることを示している。

参考文献

- 1) 後藤幸正・大塚浩司「異形鉄筋の重ね縫手の破壊機構について」土木学会第27回年次学術講演会講演概要集, 1972-10
- 2) 後藤幸正・大塚浩司「太径異形鉄筋の重ね縫手に関する研究」土木学会第29回年次学術講演会講演概要集, 1974-10
- 3) 後藤幸正・大塚浩司「太径異形鉄筋の重ね縫手に関する研究」日本コンクリート工学会「鉄筋の重ね縫手における定着の設計・施工に関するシンポジウム叢書」文集, 1976-3

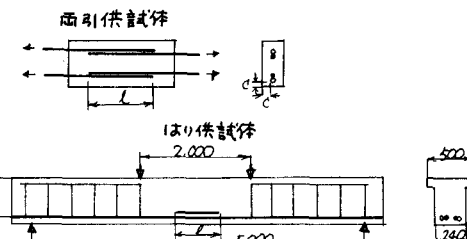


図-2 供試体形状

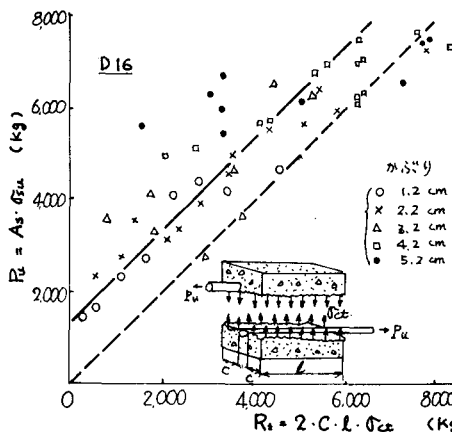


図-3 破壊荷重と引張抵抗力との関係(D16)

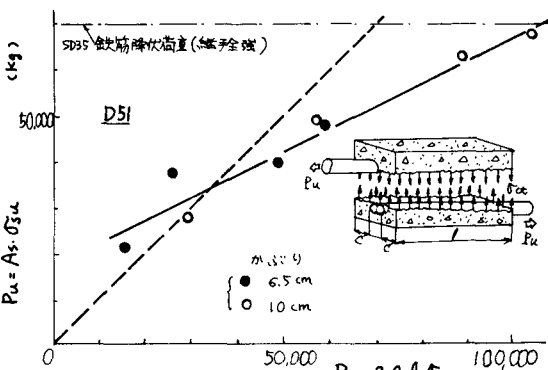


図-4 破壊荷重と引張抵抗力との関係(D51)

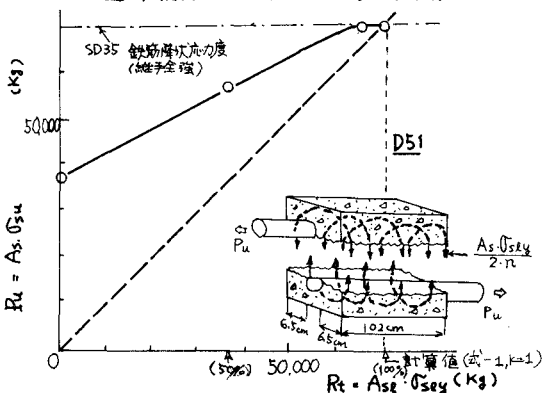


図-5 破壊荷重と補強鉄筋量との関係(D51)